

TD d'Optique II Série n°1 Filière SMP3

Exercice 1 : Onde plane et onde sphérique

1) Vérifier qu'une onde progressive $f(x - vt)$ est une solution de l'équation de propagation à une dimension $\frac{\partial^2 \psi}{\partial x^2} = \frac{1}{v^2} \frac{\partial^2 \psi}{\partial t^2}$. En déduire que l'onde harmonique plane $\psi(r, t) = A \sin(kx - \omega t)$ est une solution de cette équation.

2) Soit $\psi(r, t) = \frac{f(r-vt)}{r}$, où f est une fonction arbitraire deux fois dérivable. Montrer que ψ est une solution de l'équation d'onde à trois dimensions qui correspond à un ébranlement sphérique se propageant à la célérité v .

Exercice 2 : Onde électromagnétique plane

Soit une onde électromagnétique plane harmonique placée dans le vide dont le champ \vec{E} est donné par

$$\begin{cases} E_x(z, t) = 10^2 \sin \pi (3 \cdot 10^6 z - 9 \cdot 10^{14} t), \\ E_y(z, t) = E_z(z, t) = 0 \end{cases}$$



- 1) Donner l'amplitude de cette onde, sa direction de propagation et sa polarisation.
- 2) Déterminer sa célérité, sa longueur d'onde, sa fréquence. De quelle lumière s'agit-il ?
- 3) Ecrirez l'expression du champ magnétique \vec{B} associé à cette onde et faites un schéma de propagation en indiquant les fronts d'onde.

Exercice 3 : Superposition de deux ondes

Soient deux vibrations parallèles de même amplitude réelle a et de même pulsation ω :

$$\psi_1 = a \cos(\omega t), \quad \psi_2 = a \cos(\omega t + \phi)$$

- 1) Montrer que la vibration résultante de la superposition de deux ondes $\psi = \psi_1 + \psi_2$ peut s'écrire sous la forme $\psi = A \cos(\omega t + \alpha)$. Déterminer A et α . Retrouver ce résultat en utilisant la représentation complexe.

2) Sachant que l'intensité est proportionnelle à l'amplitude au carré. Donner l'intensité résultante dans les cas suivants les deux vibrations sont a) en phase, b) en opposition de phase, c) en quadrature de phase

Exercice 4 : Intensité d'une onde électromagnétique

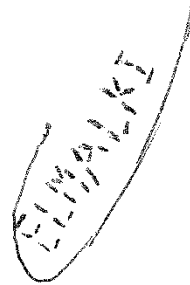
Une onde électromagnétique dans le vide est décrite par $\vec{E} = \vec{E}_0 \cos(kx - \omega t)$.

1) Montrer que la valeur moyenne de la fonction $f(t) = \cos^2(\omega t - kx)$ (fonction variable dans le temps) sur un durée τ très grande devant la période $T = 2\pi/k$ de cette fonction (c.à.d $\tau \gg T$) égale à 1/2.

2) En déduire que l'intensité de l'onde électromagnétique s'écrit $I = \frac{1}{2} c \epsilon_0 E_0^2$, où c et ϵ_0

sont la célérité dans le vide et la permittivité du vide, respectivement.



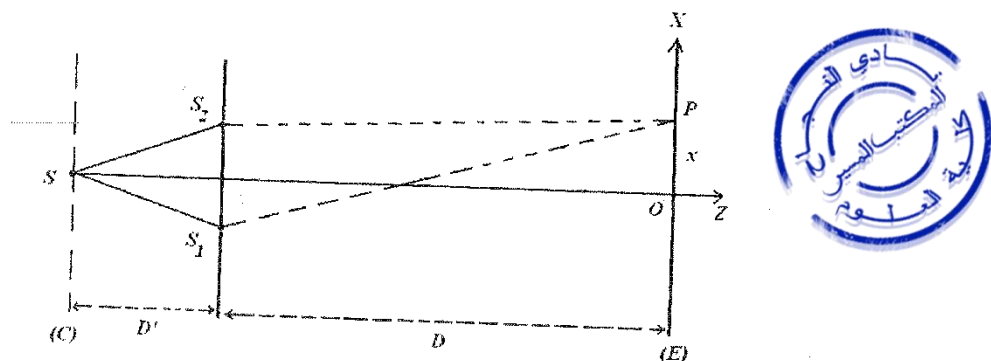


TD d'Optique 2, SMP 3

Série n°2

Exercice 1 : Dispositif des fentes de Young

Soit un dispositif interférentiel (type fentes de Young) de sources secondaires S_1 et S_2 distantes de a , éclairées par une source primaire ponctuelle monochromatique S de longueur d'onde λ .

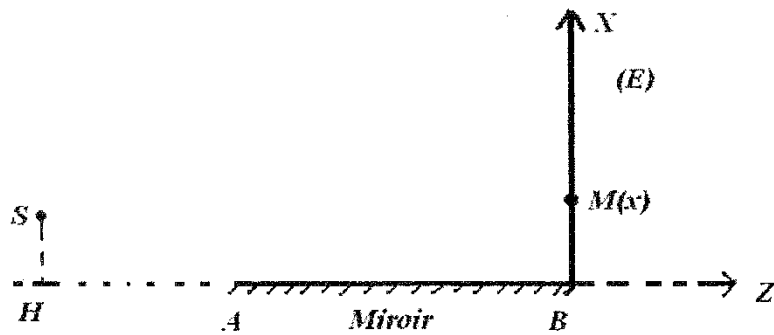


- 1) Déterminer l'ordre d'interférence et l'intensité en un point P du plan d'observation (E).
- 2) Décrire la figure d'interférence observée. Déterminer la position x_0 de la frange centrale ainsi que l'interfrange i .
- 3) On interpose une lame de verre d'épaisseur e et d'indice n devant S_1 . Déterminer le déplacement de la frange centrale du système de franges d'interférence, et préciser le sens de ce déplacement.

Exercice 2 : Miroir de Lloyd

Un miroir plan de largeur $AB = l = 20\text{cm}$, est placé perpendiculairement à un écran E ; celui-ci est en contact avec le bord B du miroir à droite. On éclaire le miroir par une source S monochromatique de longueur d'onde $\lambda = 0.60 \mu$, parallèle au miroir, située à une faible distance $HS = h/2 = 1.5 \text{ mm}$ du plan du miroir et à une distance $D = HB = 70 \text{ cm}$ de l'écran.

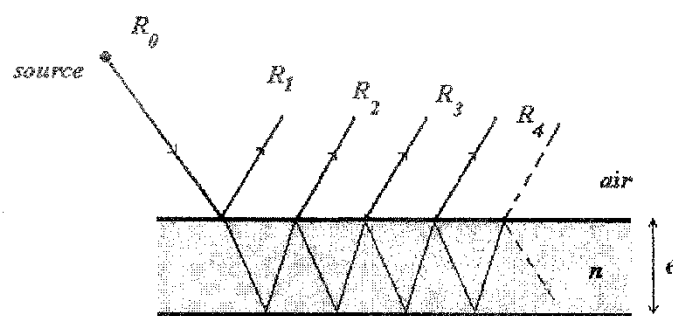
- 1) Préciser sur le schéma le champ d'interférence.
- 2) Ecrire la loi $I(x)$ donnant l'intensité lumineuse sur (E) en un point $M(x)$ du champ d'interférence ($BM=x$).
- 3) Déterminer l'étendue de la zone d'interférence sur (E). En déduire combien de franges brillantes sont visibles sur l'écran.



Exercice 3 : Irisation d'une lame d'eau

On considère une lame d'eau dans l'air. L'épaisseur de la lame est notée e et son indice $n = 1.3$. Le soleil éclaire la lame en incidence normale (voir le schéma ci-dessous). Soient r et t , respectivement, les coefficients de réflexion et de transmission à l'interface entre l'air et l'eau.

- 1) Montrer que les rayons réfléchis R_3, R_4, \dots ont des intensités négligeables devant celles de R_1 et R_2 .
- 2) Déterminer la différence de marche entre R_1 et R_2 . Donner l'expression de l'intensité en un point M de l'espace.
- 3) A quelle condition la lame apparaît-elle colorée ?



Exercice 4 : Interféromètre de Michelson

L'interféromètre de Michelson (voir Figure ci-dessous) est constitué de deux miroirs M_1 (fixe) et M_2 (mobile) de même taille et d'une lame semi-réfléchissante G (inclinée de 45°) permettant de diviser le faisceau incident en deux faisceaux R_1 et R_2 . La source S est monochromatique de longueur λ .

- A) Initialement M_2 est perpendiculaire à M_1 . Le miroir virtuel M'_1 (image de M_1 par rapport à G) et le miroir M_2 forment une lame d'air à faces parallèles d'épaisseur $e_0 = d_2 - d_1$. Cette lame d'air donne naissance à des anneaux d'interférences d'égale inclinaison i . la lame G ne contribue par aucune différence de marche supplémentaire. L'angle d'incidence i est faible.

Le plan d'observation est placé au foyer image L de distance focale f_i . On donne $d_1=12.5 \text{ cm}$, $d_2=12.62 \text{ cm}$, $\lambda=0.6 \mu\text{m}$, $f_i=1.5 \text{ m}$

1) Donner la différence de marche $\delta(e_0, i)$ entre R_1 et R_2 . En déduire l'ordre d'interférence $p(x)$ en tout point $M(x)$ de (E) .

2) Déterminer le rayon x_k du $k^{\text{ième}}$ anneau brillant en fonction de e , λ , f_i et de $k = (po-p(x))$. Montrer que lorsque k devient grand les anneaux se resserrent.

B) L'onde incidente à une amplitude a . La lame G est caractérisée par ses coefficients de réflexion r et de transmission t . Les miroirs M_1 et M_2 permettent la réflexion totale.

3) Sans refaire la figure et en négligeant les réflexions multiples au niveau de lame G , calculer les amplitudes réelles a_1 et a_2 . En déduire l'intensité I des franges résultant de la superposition de R_1 et R_2 .

4) Donner l'intensité maximale I_{Max} en fonction de $R = |r|^2$ (pouvoir de réflexion de G).

5) Pour former un coin d'air, on fait tourner autour de son extrémité le miroir M_2 d'un angle α . Préciser la surface de localisation des franges et déterminer l'interfrange i .

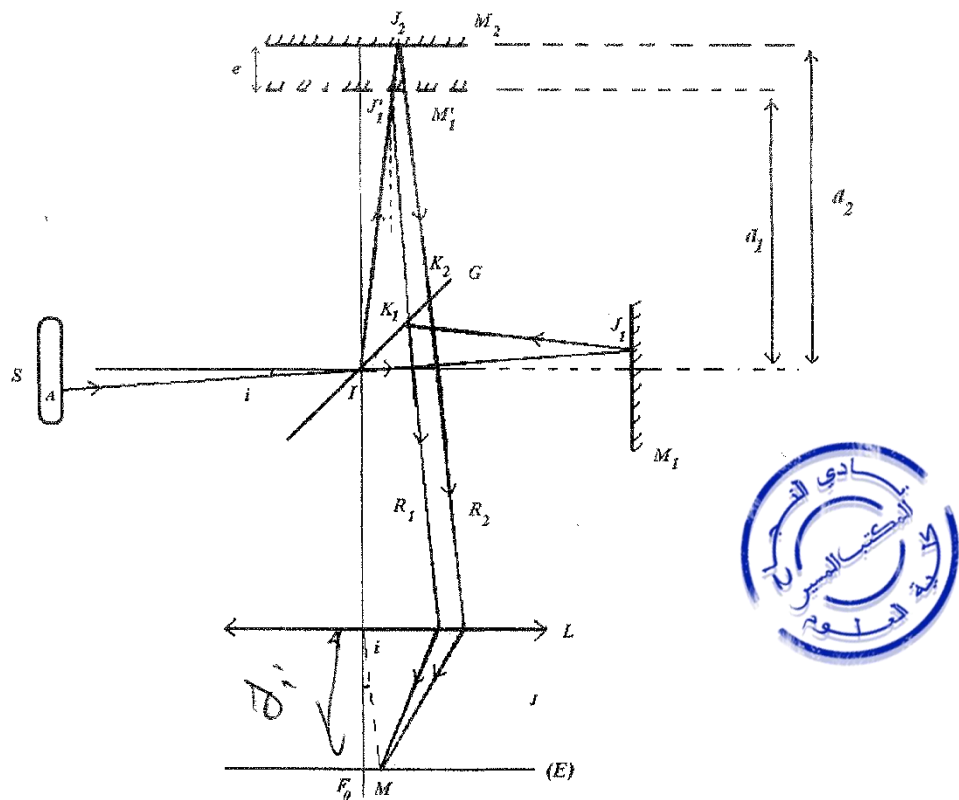


Schéma : interféromètre de Michelson

Exercice 1 : Diffraction par des fentes rectangulaires

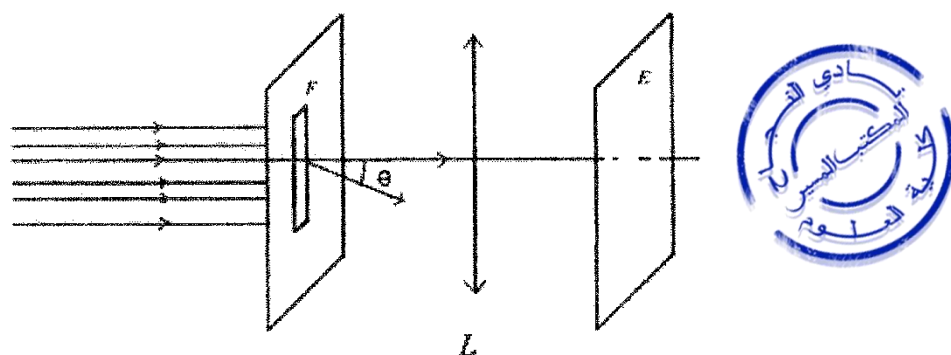
On éclaire une fente F par une onde plane monochromatique de longueur d'onde $\lambda = 546 \text{ nm}$ en incidence normale. La longueur de la fente est supposée très grande par rapport à sa largeur $a=0.25 \text{ mm}$. Une lentille convergente L de distance focale $F = 1\text{m}$, de même axe que L, permet d'observer dans son plan focal image la figure de diffraction à l'infini produite par la fente F. L'écran E est placé dans ce plan focal (voir schéma ci-dessous).

1) Démontrer que, dans une direction du plan horizontal faisant avec l'axe optique un petit

angle θ , l'amplitude de la vibration résultante est $A(\theta) = A_0 \cdot \frac{\sin \frac{\pi a \theta}{\lambda}}{\frac{\pi a \theta}{\lambda}}$. A_0 étant l'amplitude

résultante pour $\theta=0$. Quelle est dans ce cas la largeur de la fente centrale ? Calculer la distance séparant deux franges noires consécutives.

2) On enlève la fente F et on met à sa place, perpendiculairement à l'axe optique, un écran portant deux fentes parallèles identiques de largeur 0.25 mm dont leurs centres sont distants de 1 mm . Quelle est l'amplitude A' de la vibration résultante dans une direction inclinée d'un petit angle θ par rapport à l'axe, dans un plan horizontal ? Tracer la courbe représentant les variations de l'intensité lumineuse en fonction de θ . Calculer l'interfrange des franges d'interférence.



3) On éclaire maintenant de la même façon un réseau plan, constitué de N fentes identiques, parallèles de largeur a , et dont les centres sont équidistants de l .

a) déterminer la distribution de l'amplitude totale résultante de N fentes, au point M dans la direction θ .

b) En déduire la distribution de l'intensité totale résultante au point M . Que devient cette expression dans le cas d'un réseau parfait à N fentes infiniment fines ? Tracer le graphe de l'intensité correspondante en fonction de x .

Exercice 2 : Tache d'Airy

On réalise une photo d'un objet ponctuel très éloigné (une étoile par exemple). L'objectif a pour distance focal $f = 50$ mm et pour diamètre $D = 2.3$ mm. A cause du phénomène de diffraction, l'image recueillie sur le film n'est pas ponctuelle, mais apparaît sous la forme d'une tache circulaire.

Déterminer la dimension de cette tache (la tache d'Airy). On prendra $\lambda = 600$ nm.

Exercice 3 : Diffraction d'un réseau plan

Une lumière monochromatique «émise par un laser à Hélium-néon ($\lambda = 6328$ Å) tombe sous incidence normale sur un réseau de diffraction contenant 6000 traits /cm. Déterminer les angles où on observe le maximum de premier ordre, le maximum de deuxième ordre, et ainsi de suite.



Exercice 1

1°) Soit une onde progressive $f(x-vt) = \psi(x, t)$ où ψ est une fonction à trois dérivées

$$\frac{\partial \psi}{\partial x} = \frac{\partial f}{\partial u} \cdot \frac{\partial u}{\partial x} \quad \text{où } u = x - vt \quad ; \quad \frac{\partial u}{\partial x} = 1 \quad ; \quad \frac{\partial u}{\partial t} = -v$$

$$\frac{\partial^2 \psi}{\partial x^2} = \frac{\partial^2 f}{\partial u^2} \quad \text{de m.} \quad \frac{\partial \psi}{\partial t} = \frac{\partial f}{\partial u} \cdot (-v) \Rightarrow \frac{\partial^2 \psi}{\partial t^2} = v^2 \cdot \frac{\partial^2 f}{\partial u^2}$$

Donc $\frac{\partial^2 \psi}{\partial x^2} = \frac{1}{v^2} \frac{\partial^2 f}{\partial t^2} \Rightarrow f(x-vt)$ vérifie l'équation d'onde à une dimension

D'où $\psi(x, t) = A \sin(kx - \omega t)$ vérifie l'équation d'onde.

2°) L'équation d'onde s'écrit de manière générale $\Delta \psi = \frac{1}{v^2} \frac{\partial^2 \psi}{\partial t^2}$.

Dans le système cylindrique (r, θ, ϕ)

si ψ possède une symétrie radiale, on a

$$\psi = \psi(r, t) \quad \text{D'où} \quad \Delta = \frac{\partial^2}{\partial r^2} + \frac{2}{r} \frac{\partial}{\partial r}$$

D'où $\frac{\partial^2 \psi}{\partial r^2} + \frac{2}{r} \frac{\partial \psi}{\partial r}$ peut s'écrire

$$\frac{\partial^2 \psi}{\partial r^2} + \frac{2}{r} \frac{\partial \psi}{\partial r} = \frac{1}{r} \frac{\partial^2}{\partial r^2} (r\psi)$$

d'équation d'onde s'écrit alors $\frac{\partial^2}{\partial r^2} (r\psi) = \frac{1}{v^2} \frac{\partial^2 (r\psi)}{\partial t^2}$. Une solution générale de cette équation s'écrit sous la forme $f(r-vt)$

D'où $r\psi = f(r-vt)$, c'est à dire $\psi(r) = \frac{f(r-vt)}{r}$, où f est une fois dérivable.



Exercice 2

Soit l'onde plane électromagnétique : $\begin{cases} E_x(z,t) = 10^2 \sin \pi (3 \cdot 10^6 z - 9 \cdot 10^{14} t) \\ E_y = E_z = 0 \end{cases}$

On a : $E_x(z,t) = E_0 \sin(kz - \omega t)$ ou encore $E_0 \sin(\vec{k} \cdot \vec{r} - \omega t)$

$$\text{l'amplitude } E_0 = 10^2 \text{ V/m}, \quad k = \frac{2\pi}{\lambda} \quad ; \quad \nu = \frac{\omega}{k}$$

La direction de propagation correspond à la direction du vecteur d'onde \vec{k} .
Cette onde se propage dans la direction de l'axe OZ car $\vec{k} = \begin{pmatrix} 0 \\ 0 \\ 1 \end{pmatrix}$

La direction de polarisation est l'axe OX puisque $E_y = E_z = 0$

$$3) \text{ La vitesse (ou vitesse) de cette onde } v = \frac{\omega}{k} = 3 \cdot 10^8 \text{ m.s}^{-1}$$

$$\text{La longueur d'onde } \lambda, \quad \lambda = \frac{2\pi}{k} = 0,66 \text{ nm}$$

$$\nu = \frac{c}{\lambda} = 4,5 \cdot 10^{14} \text{ Hz} \quad \text{c'est une lumière rouge.}$$



3) On utilise les équations de Maxwell. On a $\nabla \times \vec{E} = - \frac{\partial \vec{B}}{\partial t}$ avec $\vec{B} = \begin{pmatrix} B_x \\ B_y \\ B_z \end{pmatrix}$

$$\nabla \times \vec{E} = \vec{\nabla} \times \begin{pmatrix} E_x \\ E_y \\ E_z \end{pmatrix} = \begin{pmatrix} 0 \\ \frac{\partial E_x}{\partial z} \\ \frac{\partial E_x}{\partial y} \end{pmatrix} = \begin{pmatrix} 0 \\ \frac{\partial E_x}{\partial z} \\ 0 \end{pmatrix}$$

$$\frac{\partial B_x}{\partial z} = 0 \Rightarrow B_x = \text{cste} \quad \text{ne correspond pas à une onde progressive}$$

$$\frac{\partial B_y}{\partial t} = \frac{\partial E_x}{\partial z} \Rightarrow \frac{\partial B_y}{\partial t} = - k E_0 \cos(kz - \omega t) \Rightarrow B_y = \frac{k}{\omega} E_0 \sin(kz - \omega t)$$

$$- \frac{\partial B_z}{\partial t} = \frac{\partial E_x}{\partial y} \Rightarrow \frac{\partial B_z}{\partial t} = 0 \Rightarrow B_z = \text{cste} \quad \text{ne correspond pas à une onde progressive.}$$

$$\frac{\partial B_y}{\partial t} = \frac{E_x}{\nu} \quad B_y \text{ est polarisé selon } OY.$$

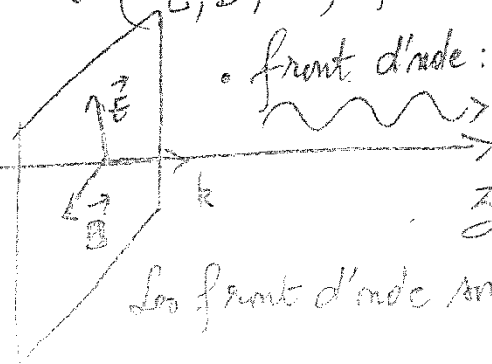
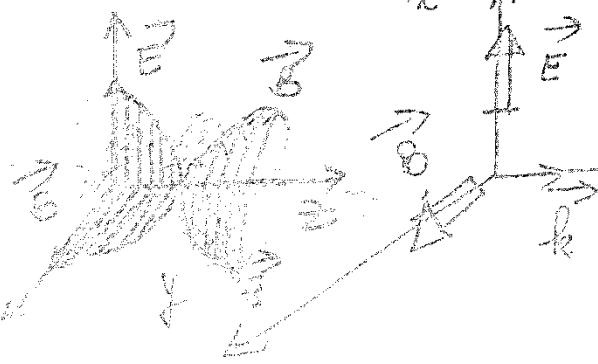
Finlement on a

$$B_y = \frac{E_x}{\nu}$$

$$B_y = B_0 \sin(kz - \omega t) ; \text{ avec } B_0 = \frac{E_0}{\nu} = 0,33 \cdot 10^{-6} \text{ Tesla}$$

$(\vec{E}, \vec{B}, \vec{k})$ forment un trièdre directe

front d'onde : est une surface d'égale phase



Les fronts d'onde sont des plans $\perp OZ$.

Exercice 3 :

Soient 2 vibrations d'amplitude réelle a , de pulsation ω et déphasées de Φ .

$$\Psi_1 = a \cos(\omega t), \quad \Psi_2 = a \cos(\omega t + \Phi)$$

La vibration résultante $\Psi = \Psi_1 + \Psi_2$ s'écritra sous la forme : $\Psi = A \cos(\omega t + \phi)$

i) en utilisant la méthode trigonométrique :

$$\Psi = a (\cos \omega t + \cos(\omega t + \Phi)) = a [2 \cos(\omega t + \Phi/2) \cdot \cos(\Phi/2)]$$

(on utilise la relation $\cos p + \cos q = 2 \cos\left(\frac{p+q}{2}\right) \cos\frac{p-q}{2}$)

D'où $A = 2a \cos \Phi/2 \Rightarrow$ onde harmonique de pulsation et
 $\phi = \Phi/2.$ d'amplitude $2a \cos \Phi/2$ et de phase $\Phi/2.$

En général pour onde harmonique, l'intensité = la valeur moyenne
 du module du vecteur de Poynting $S = \frac{\vec{E} \times \vec{B}}{\mu_0}.$ On montre que

$$I = \langle |\vec{S}| \rangle \propto E_0^2 \text{ (voir cours)}$$

$$\text{Dans ce cas, on a } I = 4a^2 \cos^2 \Phi/2.$$



ii) en utilisant la méthode des nombres complexes : soit $\bar{\Psi}_1 = a e^{j\omega t}, \bar{\Psi}_2 = a e^{j(\omega t + \Phi)}$

$$\bar{\Psi} = \bar{\Psi}_1 + \bar{\Psi}_2 = a e^{j\omega t} (1 + e^{j\Phi}) = a e^{j\omega t} \cdot e^{j\Phi} = a e^{j(\omega t + \Phi)}$$

$$\bar{\Psi} = \underbrace{2a \cos \Phi/2} \cdot e^{j(\omega t + \Phi/2)} = A \cdot e^{j(\omega t + \Phi)}$$

Cette dernière méthode est plus simple si on a à considérer la superposition de plusieurs fréquences d'onde (voir diffraction par un réseau).
 Les moments sont :

$$I = \bar{\Psi} \cdot \bar{\Psi}^* = 4a^2 \cos^2 \Phi/2.$$

Si les 2 vibrations sont en phase on a $\Phi = 2\pi m \Rightarrow m = 0, 1, 2, \dots \Rightarrow I = 4a^2 = I_{\max}$

Si les 2 vibrations sont en quadrature de phase $\Phi = \pi \Rightarrow I = 4a^2 \left(\frac{\sqrt{2}}{2}\right)^2 = 2a^2$

Si les 2 vibrations sont en opposition de phase $\Phi = (m+1)\pi \Rightarrow I = 0$

Exercice 4

Soit une onde plane harmonique $\vec{E} = \vec{E}_0 \cos(\omega t - kx)$.

Sa période temporelle est $T = \frac{2\pi}{\omega}$.

1°) la valeur moyenne d'une fonction $f(t)$ sur une durée T : $\langle f(t) \rangle_T = \frac{1}{T} \int_0^T f(t) dt$

$$\langle \cos^2(\omega t - kx) \rangle_T = \frac{1}{T} \int_0^T \cos^2(\omega t - kx) dt.$$

$$\text{cos}^2 \alpha = \frac{1 + \cos 2\alpha}{2} \Rightarrow \langle \cos^2(\omega t - kx) \rangle_T = \frac{1}{2T} \left[1 + \frac{1}{2\omega} [\sin(\omega t - kx)]_0^T \right]$$

$$= \frac{1}{2} + \frac{1}{4\omega T} \left\{ \sin(\omega(T+0) - kx) - \sin(\omega(0+0) - kx) \right\}$$

Or $\frac{1}{4\omega T} = \frac{1}{8\pi \frac{T}{\omega}} \ll \frac{1}{8\pi}$ (car $\frac{\pi}{T} > 1$ par hypothèse) et $\frac{1}{4\omega T}$ est négligeable.

De plus le terme entre parenthèses est majoré par 2. Donc $\langle \cos^2(\omega t - kx) \rangle_T = \frac{1}{2}$

S est le vecteur de Poynting

$$S = \frac{\vec{E} \times \vec{B}}{\mu_0} \quad (\text{dans le vide})$$

$$I = \langle S \rangle$$

$$S = \frac{EB}{\mu_0} = \frac{E^2}{C\epsilon_0} = C\epsilon_0 E^2$$

$$I = \langle S \rangle = C\epsilon_0 \langle E^2 \rangle = C\epsilon_0 E_0^2 \langle \cos^2(\omega t - kx) \rangle_T = \frac{1}{2} C\epsilon_0 E_0^2$$

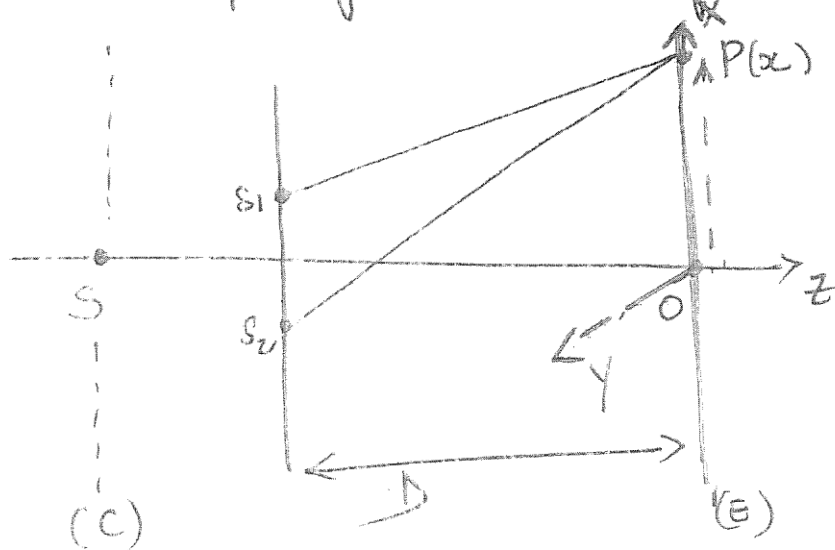


Solution de la série 2.



Ex 1

On considère le dispositif des 2 trous (ou fentes) de Young.



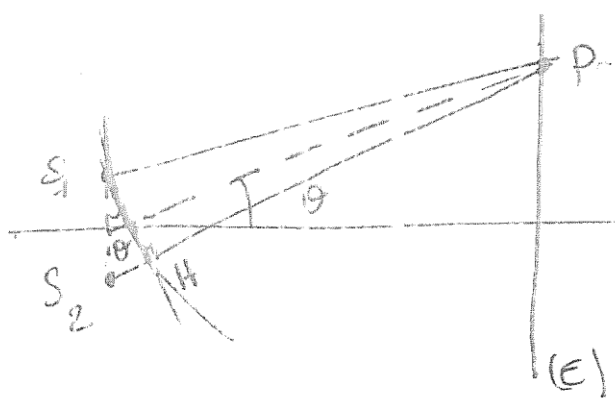
$$S_1 S_2 = a$$

on suppose que :

a et x sont très petits devant D ($a \ll D$, $x \ll D$)

la d.d.m au pt P est :

$$S = r_2 - r_1 = S_2 P - S_1 P.$$



$$S_2 P - S_1 P \approx S_2 H \quad (\text{puisque } a \ll D, z \ll D)$$

$$\text{Or } \sin \theta = \frac{S_2 H}{a} \Rightarrow S_2 H = a \sin \theta$$

De plus on peut écrire $\tan \theta \approx \sin \theta \approx \frac{x}{D}$

$$\text{Donc } \theta = \frac{ax}{D}$$

1°) L'ordre d'interférence $p = \frac{\theta}{\lambda} = \frac{ax}{\lambda D}$. d'intensité $I = 2I_0(1 + \cos \Phi)$

I_0 : intensité de S_1 et S_2 . $\Phi = \frac{2\pi}{\lambda} S = 2\pi p \Rightarrow I = 2I_0(1 + \cos 2\pi p(a))$

2°) les franges sont données par $\Phi(p) = \text{cste}$. (cas des droites $\parallel Oxy$).
(cst $x = \text{cste}$)

Les franges brillantes correspondent à $\left\{ \begin{array}{l} \Phi = m\pi, m = 0, \pm 1, \pm 2, \dots \\ \text{ou} \\ \delta = m\lambda \\ \text{ou} \\ p = m \end{array} \right. \Rightarrow \frac{ax_m}{\lambda D} = m$

$$\Rightarrow x_m^f = m \frac{\lambda D}{a}$$

Les franges sombres correspondent à $x_m^s = (m + \frac{1}{2}) \frac{\lambda D}{2}$.

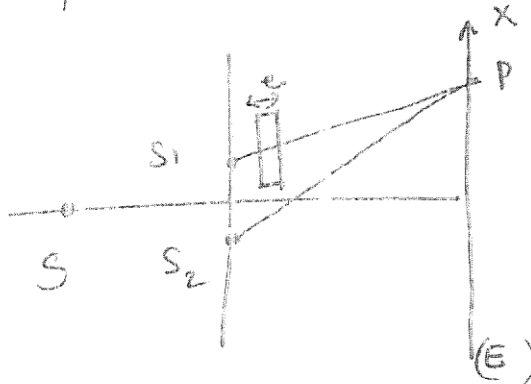
La fringe centrale correspond à $S = 0$ (cst. 1 chemin optique $S_1 P = S_2 P$).

$S(x_0) = 0 \Rightarrow x_0 = 0 \Leftrightarrow$ la fringe centrale est située en 0.

L'interfrange est la distance entre 2 franges de même nature.

$$l = x_{m+1}^b - x_m^b \quad \text{ou encore} \quad i = \frac{(\Delta x^b)}{\Delta p=1} \Rightarrow i = \frac{\lambda D}{a}$$

3) On introduit une lame de verre d'indice n devant S_2 soit e l'épaisseur de cette lame. La nouvelle d.d.m s'écrit :



$$S' = (S_2 P) - (S_1 P)$$

$$\text{or } (S_2 P) = S_1 P + (n-1)e$$

(l'introduction de lame de verre entraîne une augmentation du chemin optique de $(S_2 P)$ de $(n-1)e$ (voie optique géométrique S_2)

$$\text{Donc } S' = (x_2 - x_1) - (n-1)e = \frac{ax}{\lambda D} - (n-1)e \Rightarrow p' = \frac{ax}{\lambda D} - \frac{(n-1)e}{\lambda}$$

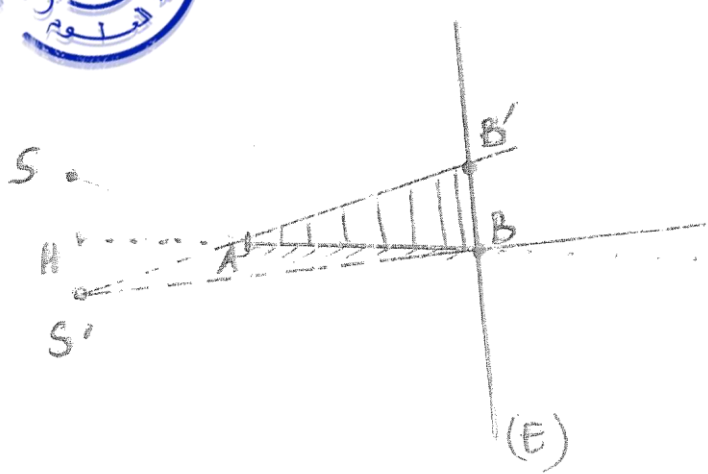
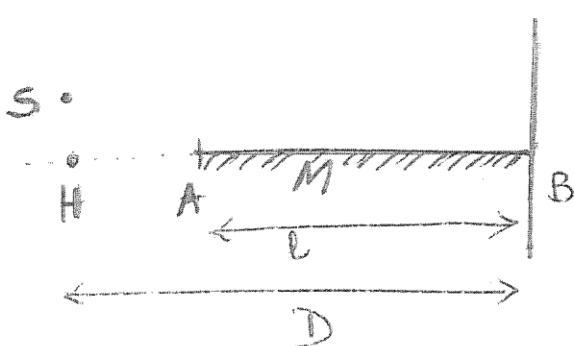
La fringe centrale changera de position : $p'(x') = 0 \Rightarrow x' = \frac{(n-1)e}{a}$
 ⇒ déplacement vers le haut. (dans la partie où l'espace où on place la lame)

⇒ la fringe centrale se déplace du côté où il ya la lame.



Ex 2

Soit le dispositif du miroir de Lloyd suivant :



A^o) Le dispositif permet d'obtenir

des interférences entre les rayons provenant directement de S et ceux provenant de la réflexion de S sur le miroir M

Ce système est équivalent au dispositif de Young avec les 2 sources S et S': image de S par rapport au miroir M

La zone d'interférence = zone hachurée
c'est la zone où il y a rencontre entre les rayons de S et de S'.

• L'étendue de la figure d'interférence sur l'écran (E) est BB'

Puisque le dispositif est équivalent à celui de Young, la figure d'interférence sera constituée de franges : des droites parallèles \perp au plan de la figure

2^o) On a $S\bar{M} = \frac{h}{2} \Rightarrow S\bar{S}' = h = a$ d d m en point M de l'écran situé

à la distance x de B s'écrit $S = S_g + S_{op}$ où S_g : diff. de marche géométrique

$S_g = \frac{ax}{D}$ (voir le cours), $S_{op} = \frac{\lambda}{2}$ (ceci est dû à la réflexion directe sur le miroir)

$\Rightarrow \Psi = \Psi_{g0} + \pi = \frac{2\pi}{\lambda} \frac{ax}{D} + \pi$. L'intensité I s'écrit: $I = 2I_0 (1 + \cos \Psi)$

où I_0 : intensité de S au point M. $\Rightarrow I = 2I_0 \left(1 - \cos \frac{2\pi ax}{\lambda D}\right)$

$$= 4I_0 \sin^2 \left(\frac{\pi ax}{\lambda D} \right)$$

$$p = \frac{\delta}{\lambda} = \frac{ax}{\lambda D} + \frac{1}{2}$$

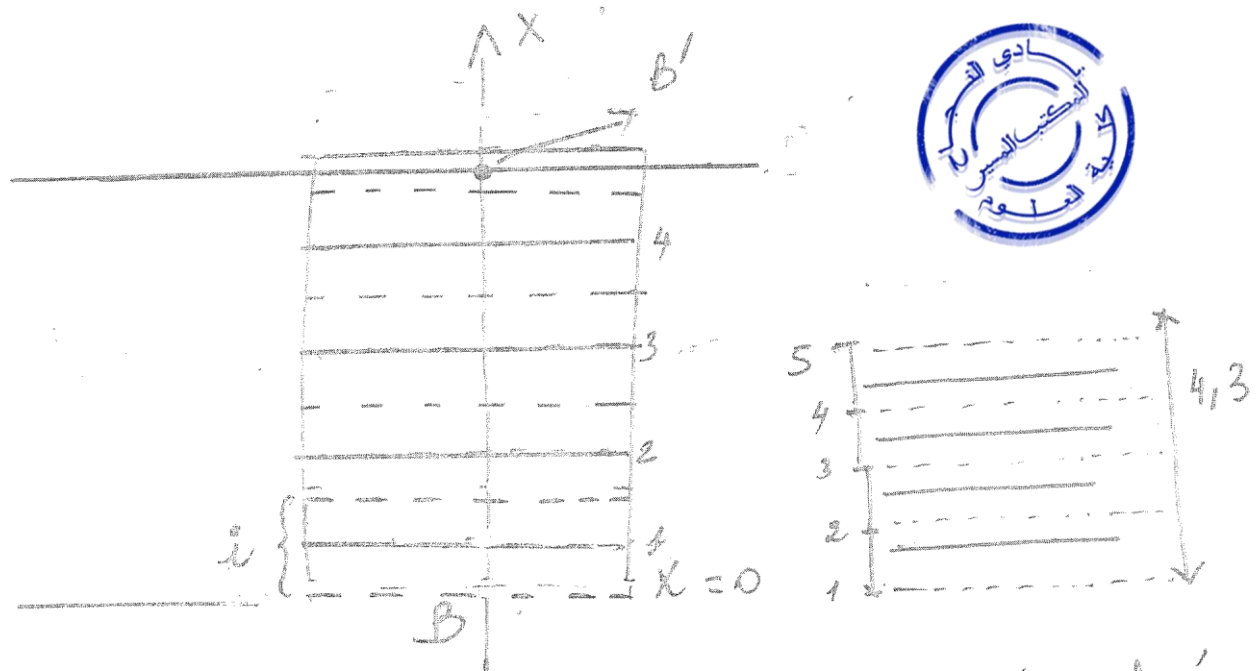
$$\text{f. b} \Leftrightarrow p = m \Rightarrow x_m^b = \left(m - \frac{1}{2}\right) \frac{\lambda D}{a} \quad m = 1, 2, 3, \dots$$

$$\text{f. s} \Leftrightarrow p = m + \frac{1}{2} \Rightarrow x_m^s = m \frac{\lambda D}{a} \quad m = 0, 1, 2, \dots$$

3) La fringe en $x=0$ correspond à $f(x=0) = \frac{1}{2}$ fringe sombre. Le nombre d'interfranges (c'est le nombre d'intervalle dans), $N = \frac{BB'}{i}$ est i l'interfrange

$i = \alpha_{m+1}^f - \alpha_m^f = \frac{\lambda D}{a}$. Déterminons d'abord BB' . On remarque (triangles semblables) que $\frac{BB'}{HS'} = \frac{AB}{HA} \Rightarrow BB' = HS' \frac{AB}{HA}$. A.N: $BB' = 0,6 \text{ mm}$

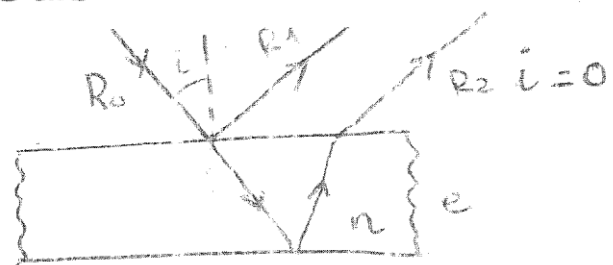
$$i = 140 \mu\text{m} \Rightarrow N = \frac{0,6 \cdot 10^3}{140} = [4,3] \rightarrow \text{Nombre de franges brillantes.}$$



- le nombre de franges brillantes visibles sur BB' d'après le schéma est de 4
- le nombre de franges sombres est 5.

Ex 3

On considère une lame d'eau dans l'air. On éclaire cette lame avec de la lumière du soleil en incidence normale.



1°) les coefficients de réflexion et transmission

sont donnés par les équations de Fresnel.

En incidence normale on a : $r = \frac{n_1 - n_2}{n_1 + n_2}$ et $t = \frac{2n_1}{n_1 + n_2}$. Pour

le passage d'un milieu n_1 à un milieu n_2 :

→ pour l'interface air/eau

$$r_{e1} = \frac{-1,3}{2,3} = -0,13$$

$$t = \frac{2n_1}{n_1 + n_2}$$

$$t_{e1} = \frac{2 \times 1,3}{2,3} = 1,13$$

$$\frac{n_1 w_1 - n_2 w_2}{n_1 w_1 + n_2 w_2}$$

→ pour l'interface eau/air

$$r_{e2} = \frac{1,3 - 1}{2,3} = 0,13$$

$$T = \left(\frac{n_2 w_2}{n_1 w_1} \right)^2 \cdot t^2$$

$$t_2 = \frac{2 \times 1,3}{2,3} = 1,13$$

$$R + T = 1$$

Soit A_0 amplitude du rayon incident R_0 . Le rayon R_1 a subi une réflexion

eau/eau (réflexion dure) d'où $A_1 = r_{e1} A_0$. Le rayon R_2 a subi une

transmission air/eau + réflexion eau/air + transmission eau/air. Son amplitude

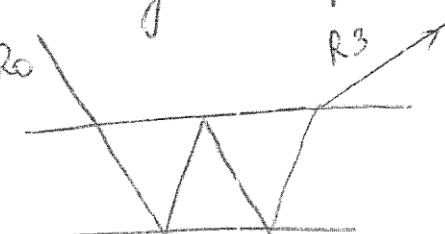
A_2 s'écrit $A_2 = (t_1 r_{e2} t_2) \cdot A_0 \approx 0,13 A_0$.

On constate que $|A_1| \approx |A_2|$

pour le rayon R_3 qui a subi 3 réflexions dans la lame : on a $A_3 = A_2 r_{e2}$ (r_{e2})²



$$A_3 = 0,017 A_2$$

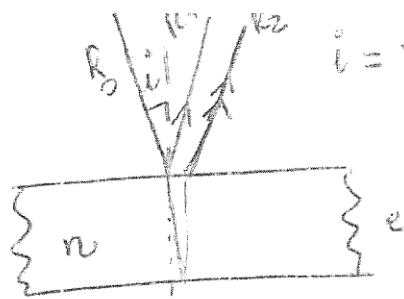


A_3 est négligeable devant A_2 . Plus le nombre de réflexions est important plus l'amplitude est faible. Donc

seuls R_1 et R_2 ont une amplitude significative.

L'intensité $I = |A|^2 \Rightarrow R_3, R_4, \dots$ peuvent être négligés dans l'étude asymptotique d'interférence.

B)



$S = S_{\text{géométrique}} + S_{\text{optique}}$

$S_{\text{géométrique}} = 2ne$

$S_{\text{optique}} = \frac{\lambda}{\pi} (\text{réflexion dure air/eau})$

$$\Phi = \frac{2\pi}{\lambda} \times 2ne + \pi \Rightarrow I = 2I_0 (1 + \cos \Phi) = 2I_0 (1 - \cos \frac{4\pi ne}{\lambda})$$

$$P = \frac{2ne}{\lambda} + \frac{1}{2} \quad I_{\text{eff}} = 4I_0 \sin^2 \left(\frac{2\pi ne}{\lambda} \right) \quad ; \text{ avec } I_0 = (A_0)^2$$

•) si l'inconnue I en point M ne dépend pas de la position de ce point.

I ne dépend que de e et λ . Selon son épaisseur la lame renvoie une lumière plus ou moins importante en fonction de λ du spectre du soleil ($\lambda_0 = 550\text{nm}$)

→ Pour $e = 0,1\mu\text{m}$ on constate $I(\lambda) \text{ constante} \Rightarrow$ la lame apparaît blanche

→ Pour $e = 0,3\mu\text{m}$ $I(\lambda)$ atteint sa valeur maximale pour l'longueur d'onde λ_0 et décroît rapidement autour de λ_0 ; la lame apparaîtra avec la couleur associée à λ_0 .



→ Pour $e = 2\mu\text{m}$, $I(\lambda)$ varie rapidement et atteint sa valeur max pour de nombreuses λ . Si ce nombre est très important il peut moyenne leurs valeurs et la lame apparaîtra à nouveau blanche.

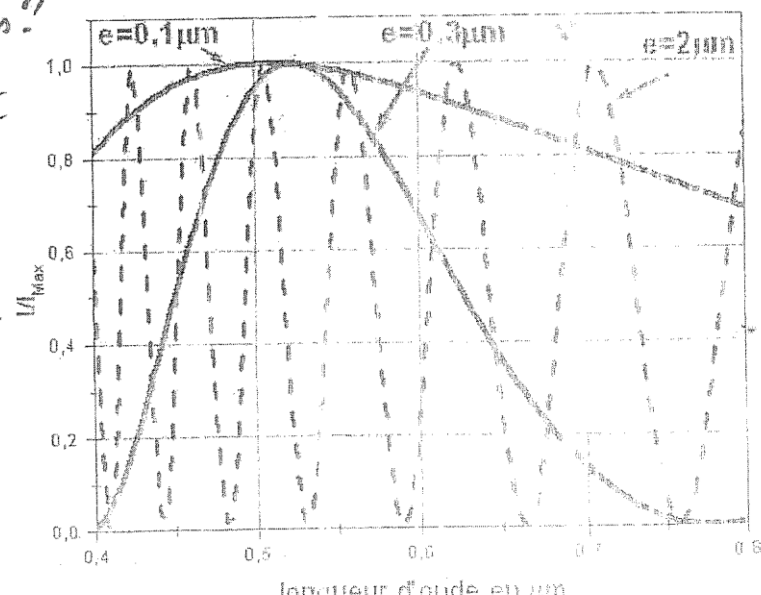
Pourquoi monte des visibilités sur des films?

l'épaisseur e n'est pas uniforme on obtient

ne visibilité sur toute la lame comme c'est

cas d'un film d'huile sur une nappe d'eau ou

une bulle de savon.



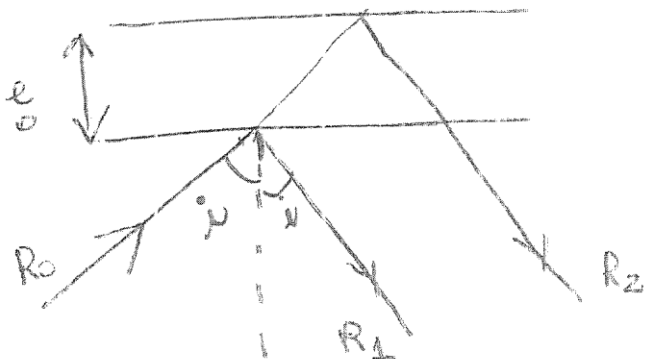
Per des

épaisseur variable sur un film d'huile par exemple

longueur d'onde en micromètres

Ex. 4

A) 1) Soit d la distance R_1 et R_2 . $S = 2e_0 \cos i$ (le système est équivalent à une lame d'air).



$$i \text{ est faible} \Rightarrow \cos i \approx 1 - \frac{i^2}{2}$$

$$\text{D'où } S = 2e_0 \left(1 - \frac{i^2}{2} \right).$$

$$\text{or } \tan i = \frac{x}{f_i} \approx \frac{x}{f_i} \text{ ce qui donne}$$

$$S = 2e_0 \left(1 - \frac{x^2}{2f_i^2} \right) \text{ avec } f_i = \frac{\lambda}{n_i}$$

Sur l'écran on obtient des anneaux concentriques de rayons $X = f_i M$.

(E)

$$p = \frac{S}{\lambda} = \frac{2e_0}{\lambda} \left(1 - \frac{x^2}{2f_i^2} \right)$$

• Au centre F_i ,

$$p_0(x=0) = \frac{2e_0}{\lambda} ; e_0 = d_2 - d_1$$



(E)

$$\phi_0 = \frac{2e_0}{\lambda} = \frac{2 \times 0,12 \cdot 10}{0,6} = 4000.$$

On constate que l'ordre au centre est le max et qu'il diminue du centre vers la périphérie de (E).

On constate que l'ordre au centre est le max et qu'il diminue du centre vers la périphérie de (E).

Un anneau brillant correspond à $p = m$, $m \in \mathbb{N}$. Dans l'approximation à faible

$$\text{on a } p = \frac{2e_0}{\lambda} \left(1 - \frac{x^2}{2f_i^2} \right) = m \Rightarrow p = p_0 \left(1 - \frac{x^2}{2f_i^2} \right)$$

$$\Rightarrow p_0 - p = \frac{x^2}{2f_i^2} p_0 \text{ ou } p_0 - p = k \text{ où } k \text{ est le numéro de l'anneau}$$

compté

$$\Rightarrow \boxed{x_k^2 = \frac{\lambda}{e_0} f_i^2 \cdot k} \Rightarrow x_k = f_i \sqrt{\frac{\lambda}{e_0}} \sqrt{k}$$

On remarque que X_k^2 varie de façon linéaire avec le numéros k .

$X_{k+1}^2 - X_k^2 = \alpha$ avec $\alpha = \frac{\lambda}{c_0} f_i \Rightarrow X_k^2$ est une arithmétique de raison α .

$\frac{X_{k+1}}{X_k} = \sqrt{\frac{k+1}{k}} = \sqrt{1 + \frac{1}{k}}$. Lorsque k devient grand $\Rightarrow \frac{X_{k+1}}{X_k} \rightarrow 1$

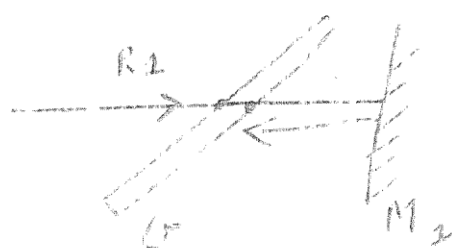
\Rightarrow les anneaux se rapprochent. Le rayon de l'anneau $k+1$ \approx rayon de l'anneau k

i) d'amplitude de R_1 : $a_1 = a_0 t^2 R_1 r_m$

ii) r_m : réflexion totale du miroir M_1 , $r_m = 1$

r : coefficient de réflexion de la lame G

t : coefficient de transmission de G



$$a_2 = a_0 t^2 r = a_1 \Rightarrow I = 2 I_0 (1 + \cos 4) \Rightarrow I_{\max} = 4 I_0$$

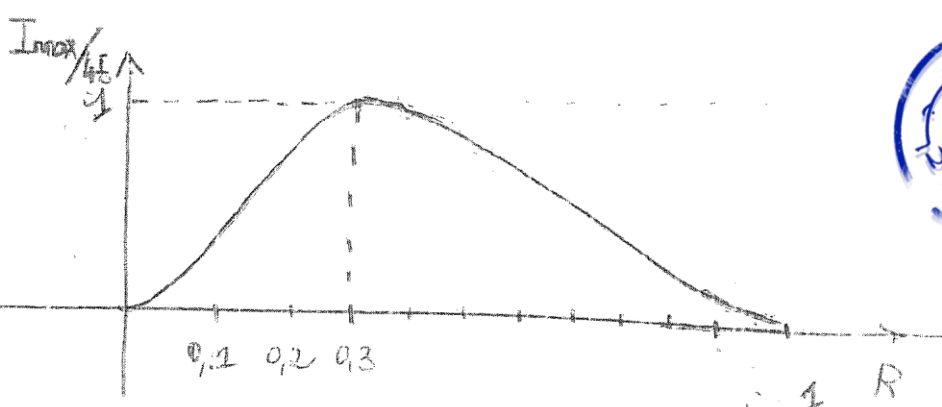
$$\eta = \frac{I_N - I_m}{I_N + I_m} = 1 \quad \text{avec } \frac{I}{I_0} = I_0 T^2 \cdot R \quad I_{\min} = 0$$

$$I_{\max} = 4 I_0 \cdot 2 \cdot T^2 = 4 I_0 R (1 - R)^2.$$

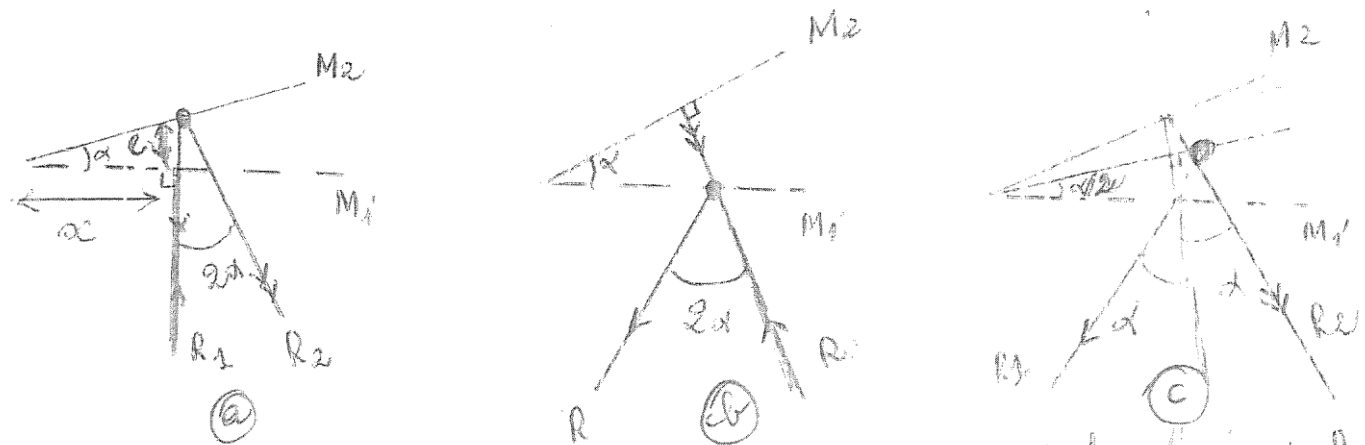
f)

Courbe.

$$\text{normalisé} = I_N / 4 I_0 = f(R) = (1 - R)^2 \cdot R = R (R^2 - 2R + 1)$$



5°) considérons le coin d'air d'angle α petit. Les R_1 et R_2 sont représentés sur les figures a), b) et c). On obtient des franges nœuds localisées sur le coin d'air. On peut focaliser sur les 3 situations a), b) et c) pour avoir une idée sur la localisation des franges et la valeur de l'interfrange i



a) Les rayons R_1 et R_2 se croisent au niveau de M_2 . Les franges sont localisées sur M_2 .

$$S = 2e \quad \text{et} \quad \frac{\pi}{\lambda} \approx \frac{2d}{\alpha} \Rightarrow S = 2d \cdot 2 \Rightarrow i = \frac{\lambda}{2d}$$

b) Les rayons R_1 et R_2 se croisent au niveau de M_1' . Donc les franges sont localisées sur M_1' .

$$S = 2e \quad \text{et} \quad \frac{\pi}{\lambda} \approx \frac{e}{\alpha} \Rightarrow p = \frac{\pi}{\lambda} = \frac{2\alpha e}{\lambda} \Rightarrow i = \frac{\lambda}{2d}$$

c) Les rayons se croisent au niveau de la bissectrice. Les franges sont localisées sur la bissectrice de (M_1, M_2) .

$$S = 2 \cdot e \quad \text{avec} \quad \frac{\pi}{\lambda} \approx \frac{e}{\alpha} \Rightarrow e = \alpha d$$

$$\Rightarrow p = \frac{2\alpha d}{\lambda} \Rightarrow i = \frac{\lambda}{2d}$$

On conclut que quelque soit la direction d'incidence, l'interfrange reste pratiquement la même $i = 0,52 \text{ mm}$.

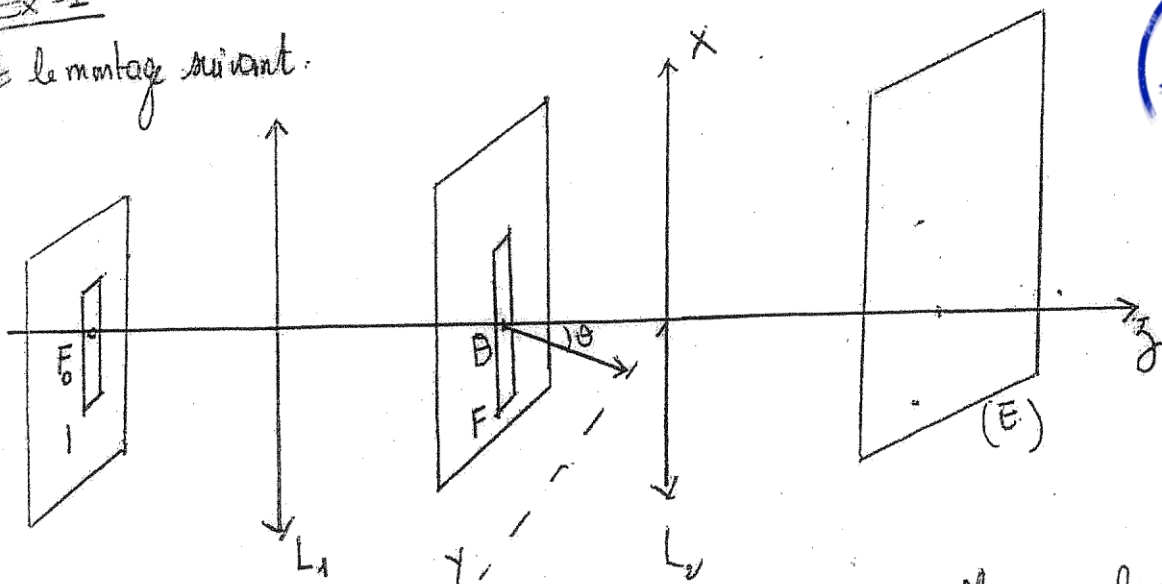
Remarque: pour répondre à la question 5) le schéma a) suffit pour expliquer le phénomène observé.



Solution de la série 3.

Ex 1

Soit le montage suivant :



Dans le plan horizontal Oyz, les rayons provenant de F_0 illuminent la fente F .
en un angle θ normal à la direction d'un rayon diffracté par la fente rectangulaire avec l'axe Oz.

L'amplitude diffractée par les points P de la fente aupt
M correspondant à la direction θ (d'après le cours)

$$A(M) = \int \int e^{i\Phi(P)} ds$$

à cette de proportionnalité

$$\text{avec } \Phi(P) = \Phi(0) + \frac{i2\pi}{\lambda} [(\alpha - \alpha_0)x + (\beta - \beta_0)y]$$

sachant que $\vec{n} \left(\begin{matrix} \theta \\ 0 \\ 0 \end{matrix} \right) = \left(\begin{matrix} \sin \theta \\ 0 \\ \cos \theta \end{matrix} \right)$

on prend $\Phi(0) = 0$ car on considère des rayons diffractés dans le plan Oyz.

$$\Rightarrow A(M) = C \iint_{\text{Fente}} e^{\frac{i2\pi}{\lambda} \beta y} dx dy = C \cdot \left[\int_{-a/2}^{a/2} \int_{-b/2}^{b/2} e^{\frac{i2\pi}{\lambda} \beta y} dy \right] dx$$

$$C \text{ est une constante } C = k e^{i\Phi(0)}$$

$\Phi(0)$: vibration en M diffracté par θ :
origine des phasus.

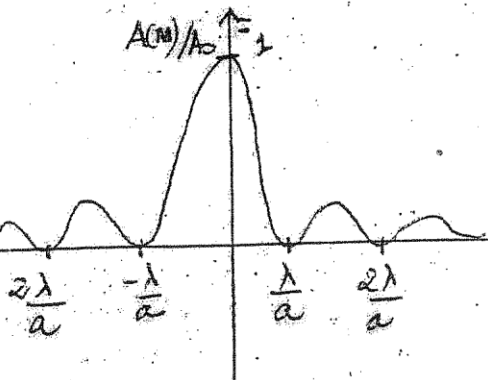
(1)

$$A(M) = C b \cdot a \cdot \frac{\sin \frac{\pi}{\lambda} a \theta}{\frac{\pi}{\lambda} a \theta}$$

Or $\alpha = \sin \theta \approx \theta$ (car θ est petit).

$$\text{Dans la direction } \theta = 0 \quad A(M \rightarrow F_2') = A_0 \Rightarrow A(M) = A_0 \frac{\sin \frac{\pi}{\lambda} a \theta}{\frac{\pi}{\lambda} a \theta}$$

(où F_2' : foyer image de L_2)



L'étende angulaire de la figure

$$\text{centrale est } \Delta \theta = \frac{2\lambda}{a}$$

$$\text{On note: } \theta = \frac{y}{f}, \quad f' = \frac{1}{v_2}$$

$$\Rightarrow y = f' \theta \Rightarrow \Delta y = f' \Delta \theta$$

$$\text{Donc la largeur de la frange centrale } \Delta y = \frac{2\lambda f'}{a}$$

$$\Delta y = 4,36 \text{ mm}$$

$$\text{AN: } a = 0,25 \text{ mm}$$

$$\lambda = 546 \text{ nm}$$

$$f' = 1 \text{ m}$$

$$\Delta = 2,18 \text{ mm}$$

De plus la distance séparant 2 franges noires est $\Delta Y_{n+1} - Y_n = \frac{\lambda}{a} f' \Rightarrow \Delta = 2,18 \text{ mm}$

On considère maintenant 2 fentes identiques $\perp \Omega \vec{E}$, dans les mêmes conditions que la tâche question.

Soit $A_1(M)$: amplitude au point M, diffusée par la fente F_1 . D'après 1^{er})

la $A_1(M) = A_0 \frac{\sin U}{U}$ avec $U = \frac{\pi}{\lambda} a \theta$. La 2^{ème} fente donne la m^{ame} amplitude A_2 :

Puisque les 2 sources sont cohérentes, car elles sont issues de la m^{ême} source F_0 , la différence de marche entre ces 2 sources s'écrit: $S = d \sin \theta \approx d \theta \Rightarrow U = \frac{2\pi}{\lambda} d \sin \theta$
d l'amplitude résultante de 20 m² s'écrit (d'après chap II : interférence)

$$A'(M) = 2 A_0 \frac{\sin U}{U} \cos \frac{S}{2}$$

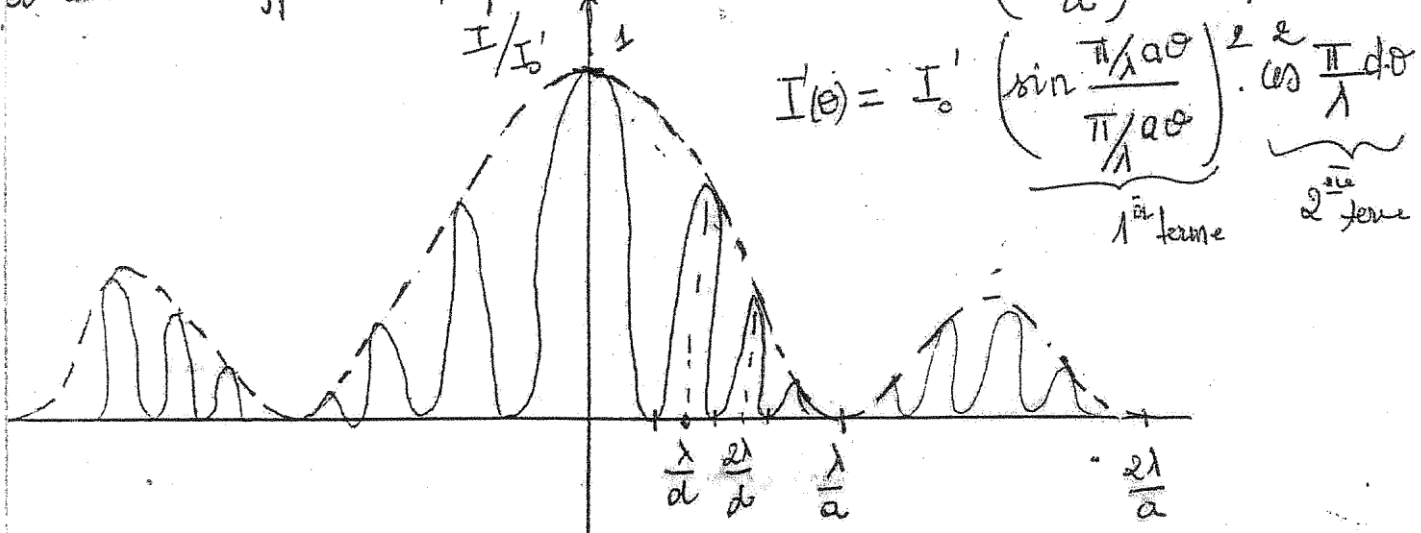
$$\Rightarrow A'(M) = 2 A_0 \frac{\sin U}{U} \cos \left(\frac{2\pi}{\lambda} d \cdot \theta \right)$$

$$\text{avec } U = \frac{\pi}{\lambda} a \theta$$

(2)



l'intensité diffractée au pt M s'écrit : $I'(\theta) = I_0 \cdot \left(\frac{\sin u}{u} \right)^2 \cos^2 \left(\frac{\pi d \theta}{\lambda} \right)$



Le 1^{er} terme est dû à la diffraction par une fente de largeur a : c'est l'enveloppe des amplitudes des min : $\pm \frac{\lambda}{a}, \pm \frac{2\lambda}{a}, \dots$

Le 2^{ème} terme est dû à l'interférence de 2 fentes distantes de d .

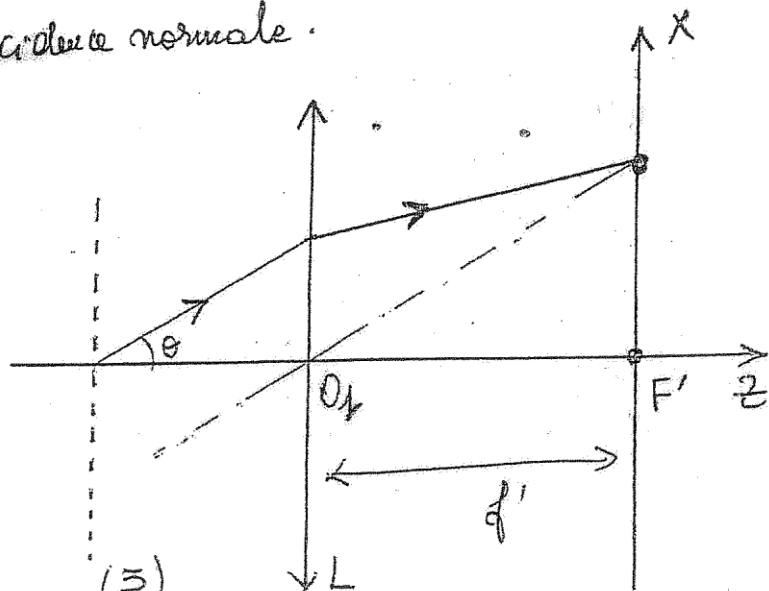
Les max sont pour amplitudes : $0, \pm \frac{\lambda}{d}, \pm \frac{2\lambda}{d}, \pm \frac{3\lambda}{d}, \dots$

$I'(\theta)$ est une fonction d'interférence modulée par une enveloppe de diffraction

L'interfrange i est donnée par : $i = \gamma_{k+1} - \gamma_k \Rightarrow i = \frac{\lambda}{d} \cdot f'$

3^e) On éclaire un réseau plan constitué de N fentes identiques de largeur b et de pas a , en incidence normale.

voit le schéma de travail suivant :



L'intensité diffractée par 1 seule fente du réseau s'écrit, d'après l'exercice de cette série, $I = I_0 \left(\frac{\sin u}{u} \right)^2$, où I_0 : intensité dans la direction $\theta = 0$

$$u = \frac{\pi d \theta}{\lambda} \text{ ou encore } u = \frac{\pi d}{\lambda} \frac{x}{f}$$

Les fentes du réseau de diffraction peuvent être considérées (car $\theta \leq \frac{x}{f}$)

comme des sources virtuelles cohérentes (si leurs largeur est très petite)

Ces sources ont en amplitude de A_0 , soit l'écliphase entre 2 fentes consécutives $\varphi = \frac{2\pi}{\lambda} s$.

consécutives : $A_0 = A_1 = A_2 = \dots = A_k = A_0 \left(\frac{\sin u}{u} \right)$

La amplitude résultante A s'écrit $A_0 = A_0 e^{i\varphi} + A_0 e^{i2\varphi} + \dots + A_0 e^{i(N-1)\varphi}$

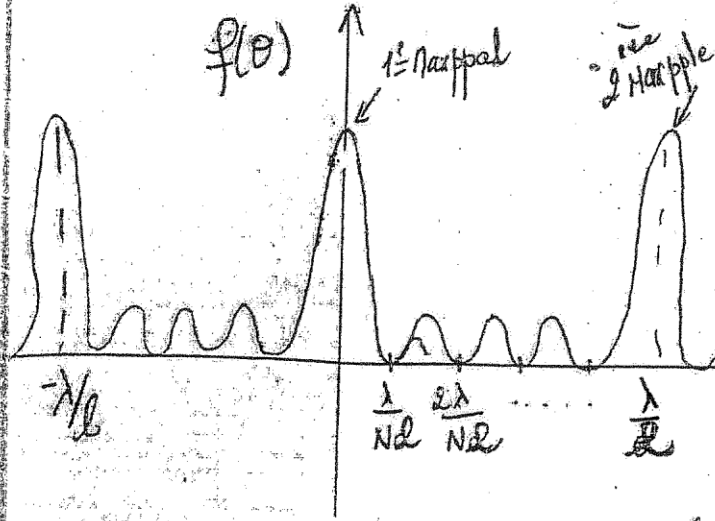
$$A_0 = \sum_{k=0}^{N-1} A_0 e^{ik\varphi} = A_0 \frac{1 - (e^{i\varphi})^N}{1 - e^{i\varphi}}$$

D'après l'exs précédent, on obtient $\frac{I_0}{N} = N^2 A_0^2 \cdot \left(\frac{\sin N\varphi/2}{N \sin \varphi/2} \right)^2$

ou encore $\frac{I_0}{N} = N^2 A_0^2 \cdot \left(\frac{\sin u}{u} \right)^2 \cdot \left(\frac{\sin N\varphi/2}{N \sin \varphi/2} \right)^2 = \frac{I_0}{N} \left(\frac{\sin u}{u} \right)^2 \cdot \left(\frac{\sin N\varphi/2}{N \sin \varphi/2} \right)^2$

avec $u = \frac{\pi d \theta}{\lambda}$ $\varphi = \frac{\pi d \theta}{\lambda}$ où $\theta = \frac{x}{f}$

Le graphique de $\left(\frac{\sin N\varphi/2}{N \sin \varphi/2} \right)^2 = f(\theta)$.



(4)

- $f(\theta)$ est périodique : période $= \frac{2\pi}{d}$

- f possède des maxima principaux lorsque $\varphi/2 = m\pi$ c'est à dire $\theta = m\frac{\lambda}{d}$

- f possède des minima en $\frac{N\varphi}{2} = k\pi$

$$\text{avec } k = 1, 2, \dots, N-1$$

$$\text{c'est à dire } \theta = k\frac{\lambda}{N \cdot d}$$

- Il y a $(N-1)$ minima entre 2 max principaux
- $N-2$ maxima secondaires

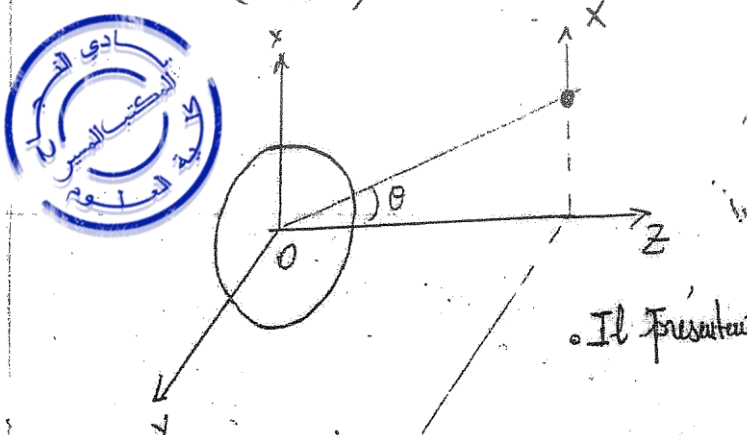
Donc seuls les maximums d'ordre $0, \pm 1, \pm 2$ sont observés dans ce cas, c'est à dire 5 raies observables.

L'expression (2) peut être déduite de l'Ex-priodique en remplaçant θ par sa vraie valeur $\sin\theta$. On aura donc des max lorsque $\frac{\Phi}{2} = n\pi$ c'est à dire $\frac{\pi}{\lambda} a \sin\theta = n\pi$.

Ex 2 : On considère ici un instrument optique (objectif) dont l'ouverture est circulaire. Sa distance focale est f' . Le nombre d'ouverture $m = f'/D$.

Ici on utilise des propriétés de la diffraction de la lumière par l'ouverture circulaire. L'intensité diffractée dans 1 direction θ est donnée par :

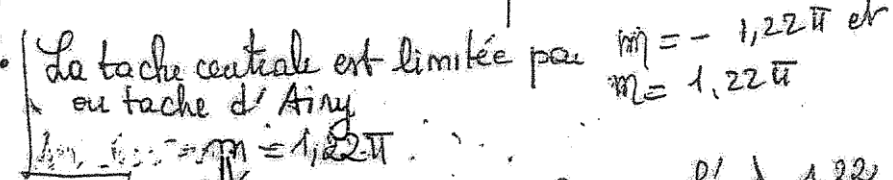
$$I = I_0 \cdot \left(\frac{J_1(m)}{m} \right)^2 \text{ où } m = \frac{\pi D}{\lambda} \sin\theta \approx \frac{\pi D \theta}{\lambda} \quad J_1(m) : \text{fonction de Bessel d'ordre 1}$$



M. minimums et max de l'onde de $J_1(x)$

d'ordre n : minimum x_{\min} maximum x_{\max}

1	$1,22\pi$	$1,63\pi$
2	$2,23\pi$	$2,67\pi$
3	$3,23\pi$	$3,69\pi$



La tache centrale est limitée par $m = -1,22\pi$ et $m = 1,22\pi$

$$\Rightarrow m = 1,22\pi$$

$$\begin{cases} \theta = \frac{\lambda}{D} \cdot 1,22 \\ \text{or } \theta = \frac{x}{f'} \end{cases} \Rightarrow x = f' \cdot \frac{\lambda}{D} \cdot 1,22 \quad (6)$$

$$\Rightarrow \Delta x = 2x$$

Donc le diamètre de la tache Δx de la tache d'Airy vaut : $\Delta x = 32,2 \mu m$

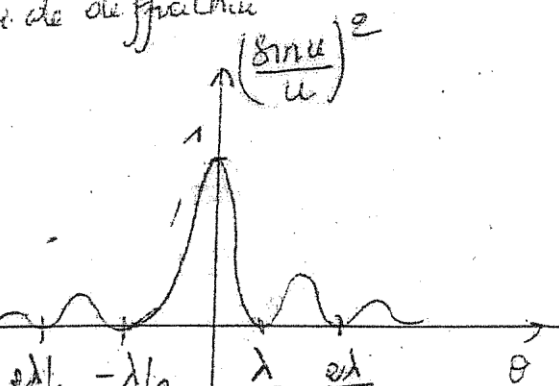
• La fonction $\left(\frac{\sin u}{u}\right)^2$ (sa module) f(u). On obtient donc une figure d'interférence de N sources cohérentes modulée par 1 courbe de diffraction la fonction $\left(\frac{\sin u}{u}\right)^2$ est représentée aussi.

Lorsque a est très petite : feutres diffraction fines

$$a \ll 1 \Rightarrow \frac{\lambda}{a} \gg 1 \Rightarrow \left(\frac{\sin u}{u}\right)^2 \xrightarrow[u \rightarrow 0]{} 1 \text{ : la fenêtre est uniforme et ne modifie plus la figure}$$

uniforme et donc ne modifie plus la figure

de diffraction



$$\frac{I}{I_0}$$

$$\frac{\lambda f}{N\ell}, \frac{2\lambda f}{N\ell}, \frac{3\lambda f}{\ell}$$

$N-1$ minima

Ex 3 : On considère un réseau de diffraction comportant 6000 traits/cm éclairé en incidence normale par $\lambda = 6328 \text{ \AA}$.

Le pas a du réseau est donné par : $a = \frac{1}{6000} \text{ cm} = 1667 \text{ nm}$.

On peut utiliser la relation du : $a (\sin \theta - \sin \theta_0) = m \lambda$: relation donnant les directions des maximums principaux (voir le cours)

θ_0 : direction de l'onde incidente ;

θ : direction de l'onde diffractée .

$$\text{si } \theta_0 = 0 \Rightarrow a \sin \theta_m = m \lambda \quad (*) \quad m : \text{ordre du maximum principal}$$

Le maximum principal d'ordre 1 correspond à $m=1$ c'est à dire $\sin \theta_1 = \frac{\lambda}{a} \Rightarrow \theta_1 = 22.3^\circ$

$$\text{d'ordre 2} \quad \text{,} \quad m=2 \quad \Rightarrow \sin \theta_2 = \frac{2\lambda}{a} \Rightarrow \theta_2 = 49.4^\circ$$

$$\text{d'ordre 3} \quad m=3 \Rightarrow \sin \theta_3 = \frac{3\lambda}{a} = 1.14 \Rightarrow \text{cette solution est physiquement impossible}$$

(5)